

# Ch. 4. Eléments d'analyse des schémas aux différences finies. Version abrégée.

## 3.1. Introduction :

• Pb d'évolution abstrait : Pb de Cauchy  
 {E.D.P.:  $\partial_t u + Au = f \equiv 0$  (pour simplifier),  $t \in ]0, T[$  (1),  
 $T < +\infty$  (2),  
 {C.I.:  $u(\cdot, 0) = u_0(\cdot)$

• Ex. ①  $Au = c \partial_x u, x \in \mathbb{R}$  éq. d'advection,  $\begin{pmatrix} c \neq 0 \\ c > 0 \end{pmatrix}$  (1')  
 ②  $Au = -\Delta u, x \in \Omega \subset \mathbb{R}^N$  éq. de la chaleur =  
 et  $\begin{cases} u|_{\partial\Omega} = 0, \text{ ou} \\ \frac{\partial u}{\partial \nu}|_{\partial\Omega} = 0 \end{cases}$  Dirichlet, ou  
 C.L. Neumann  
 $\Omega \subset \mathbb{R}^N, \neq \emptyset$

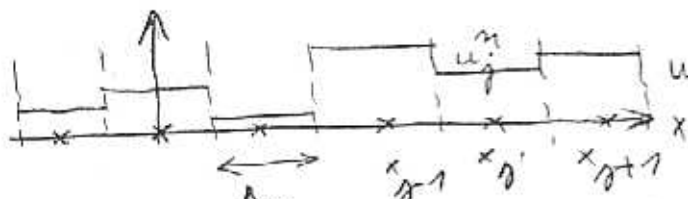
• Pour simplifier, pb 1D,  $x_j = j \Delta x, j \in \mathbb{Z}, t_n = n \Delta t$   
 $u_j^n \approx u(x_j, t_n)$ , et éq. d'advection (1') = Donc  
 A linéaire à coeffts constants. On suppose:  
 • Pb (1')(2) bien posé dans  $H: [\text{ex. } H = L^2(\mathbb{R}), L^\infty(\mathbb{R}), L^1(\mathbb{R})]$   
 i.e.  $\forall u_0 \in H, \exists!$  solution  $u: [0, T] \rightarrow H$   
 $\forall t \in [0, T], \|u(\cdot, t) - v(\cdot, t)\|_H \leq K \|u_0 - v_0\|_H$

On note:  $u(t) = S(t)u_0; v(t) = S(t)v_0$ ,  
 $S(t) \circ S(\rho) = S(\rho) \circ S(t) = S(\rho+t); S(0) = Id.$

• Schéma explicite à 3 points:  
 $u_j^{n+1} = H(u_{j-1}^n, u_j^n, u_{j+1}^n), \forall j \in \mathbb{Z}, \forall n \in \mathbb{N}$  (3)  
conservatif:  $H(u, v, w) = v - \tau (g(v, w) - g(u, v))$  (4)  
 où  $g(\cdot, \cdot)$ : flux numérique, et  $\tau = \Delta t / \Delta x$  (4')

• On note:  
 $H_\Delta: \underline{u}^n := (u_j^n)_{j \in \mathbb{Z}} \in \ell^2_{loc}, \ell^1 \mapsto \underline{u}^{n+1} := (u_j^{n+1})_{j \in \mathbb{Z}}$   
 où  $u_j^{n+1}$  est donné par (3).

• De même,  $u^n \mapsto u_h^n := \sum_{j \in \mathbb{Z}} u_j^n \chi_j$  (5)  
 où  $\chi_j(x) = \begin{cases} 1 & \text{sur } ]x_{j-1/2}, x_{j+1/2}[ \\ 0 & \text{ailleurs} \end{cases}$



$u_h^m \in V_h^m$ : fonctions en escalier (5)  $\subset H^1(\mathbb{R})$

on note  $u_h^{m+1} = S_h^m(u_h^m)$  (6)

$$\left\{ \begin{aligned} \|u_h^m\|_{L^p(\mathbb{R})} &= \|u^m\|_{L^p} \\ \text{ex. } p &= 2, +\infty \\ &:= \Delta x \left( \sum_{j \in \mathbb{Z}} |u_j^m|^p \right)^{1/p}, \text{ si } p < +\infty \end{aligned} \right.$$

• Condition initiale discrète:

$$u_{0,h}(x) = \sum_{j \in \mathbb{Z}} u_{0,j} \chi_j(x), \text{ ex. } u_{0,j} = \frac{1}{\Delta x} \int_{x_{j-1/2}}^{x_{j+1/2}} u_0(x) dx \quad (6')$$

on suppose  $u_{0,h} = R_h(u_0)$ , et  $R_h \circ R_h = R_h$ .

### 3.2. Consistance. Ordre. Eq. équivalente

Def. 1. Le schéma (3) est dit consistant (resp. d'ordre  $p$  en  $x$  et  $q$  en  $t$ ) si pour toute solution régulière  $u$  de l'EDP (1), l'erreur de troncature

$$\Delta t \varepsilon(x,t) := u(x,t+\Delta t) - H(u(x-\Delta x,t), u(x,t), u(x+\Delta x,t)) \quad (7)$$

vérifie:

$$\Delta t \varepsilon(x,t) = \begin{cases} o(\Delta t), & \text{quand } \Delta t \rightarrow 0, \text{ avec } r = \frac{\Delta t}{\Delta x} = \frac{c \Delta t}{\Delta x} \\ \text{resp. } = O((\Delta x)^p + (\Delta t)^q) & \text{'' '' , } \end{cases}$$

soit pour  $(x,t)$  fixé qlq, soit pour  $\|\Delta t \varepsilon(\cdot, t)\|_{H^1}$

thm 1. Eq. équivalente à l'ordre supérieur. Ex. pour un schéma du 1<sup>er</sup> ordre

(i) le schéma (3) est consistant (pour l'EDP (1)) si  $\forall u, g(u,u) = 0$ .

(ii) Dans ce cas, si  $u$  est régulière, et si  $r = c \Delta t / \Delta x$ , alors

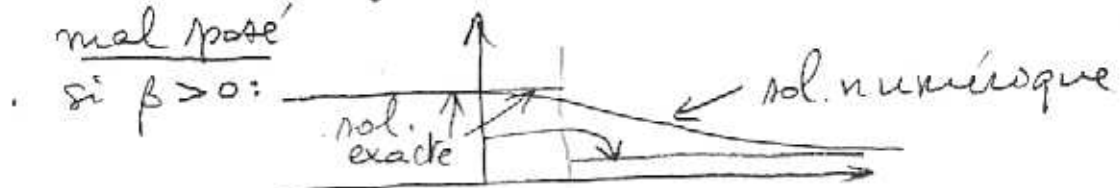
$$\Delta t \varepsilon(x,t) = u(x,t+\Delta t) - H(u(x-\Delta x,t), u(x,t), u(x+\Delta x,t)) \quad (8)$$

$$= -(\Delta t)^2 \partial_x (\beta(r) \partial_x u(x,t)) + O((\Delta t)^3)$$

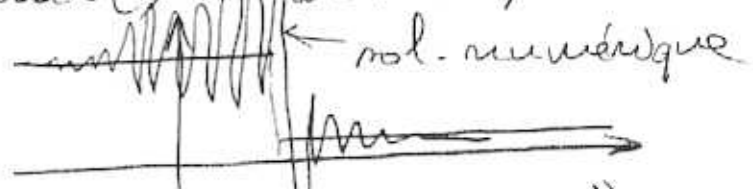
(iii) le schéma est d'ordre  $\geq 2$  si  $\beta = 0$ . Si ce n'est pas le cas, le même schéma est d'ordre  $\geq 2$  pour l'équation équivalente à l'ordre 2:

$$\partial_t u + c \partial_x u = \Delta t \partial_x (\beta(r) \partial_x u) \quad (9)$$

Rem. - si  $\beta < 0$ , le schéma (3) est instable, car l'EDP (9) et le (C.I.) (2) forment un pb mal posé. (3)



diffusion numérique du schéma  
si le schéma (3) est d'ordre 2, ex. Lax-Wendroff



car l'eq. équivalente à l'ordre 3 est "dispersive":  
$$\partial_t u + c \partial_x u \approx (\Delta t)^2 \partial_{xxx} u$$

### §3 - stabilité. Convergence

on a donc

$$\left\{ \begin{array}{l} \forall n \geq 0, \quad u_h^{n+1} = S_h(u_h^n) \in V_h \subset H \quad (3), (5), (6) \\ u_h^0 = u_{0,h} = R_h u_0 \in H, \quad R_h \circ R_h = R_h \quad (6') \end{array} \right.$$

Def 2: Le schéma (5), (6') est convergent (pour  $\|\cdot\|_H$ )

$$\text{si } \forall t \leq T, \forall u_0 \in H, \lim_{\substack{\Delta x \rightarrow 0 \\ \Delta t \rightarrow 0 \\ \Delta t / \Delta x = R \text{ fixé}}} \| S(t) u_0 - (S_h)^m u_{0,h} \|_H = 0 \quad (10)$$

(\*\*\*\*)

Def 3: Le schéma (5), (6') est stable (pour  $\|\cdot\|_H$ ) si

$$\left\{ \begin{array}{l} \forall T > 0, \exists K = K_T > 0, \text{ indépendante de } \Delta x, \Delta t \text{ tq} \\ \forall \Delta t, \forall n \text{ tq } n \Delta t \leq T, \forall u_0 \in H \quad (****) \\ \| (S_h)^n u_{0,h} \| \leq K \| u_0 \|_H, \\ \text{i.e. } \| (S_h)^n R_h \|_{\mathcal{L}(H)} \leq K \text{ (norme d'opérateur)} \quad (11) \end{array} \right.$$

En pratique (critère de Von Neumann):  $\| S_h \|_{\mathcal{L}(H)} \leq 1 + C \Delta t$ ,  
et  $\| R_h \|_{\mathcal{L}(H)} \leq C'$ .

Thm 2: Thm d'équivalence de Lax (\*\*\*)

Si le pb (1)(2) est bien posé dans  $H$  et si le schéma (6),(6') est consistant (pour  $\|\cdot\|_H$ ), alors il est convergent pour  $\|\cdot\|_H$  ssi il est stable pour  $\|\cdot\|_H$ .  
 Si de plus il est d'ordre  $p$  en  $x$  et  $q$  en  $t$ , alors

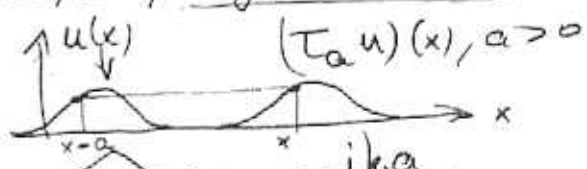
$$\sup_{0 \leq n \leq T/\Delta t} \|u(\cdot, n\Delta t) - u_n^m(\cdot)\|_H \leq CT ((\Delta x)^p + (\Delta t)^q) \quad (12)$$

( l'erreur globale )  $\leq$  " " "

Ex 4. Analyse de Fourier de l'équation exacte

On pose  $\hat{u}(k) := \int_{\mathbb{R}^N} e^{-ik \cdot x} u(x) dx$ , e.g.  $\hat{u}$  à  $N=1$

Alors  $\widehat{\frac{du}{dx}}(k) = ik \hat{u}(k)$ ;



$\forall a \in \mathbb{R}, (T_a u)(x) := u(x-a); \quad \widehat{T_a u}(k) = e^{-ika} \hat{u}(k)$

$\left\{ \begin{array}{l} \hat{u}(k, t) = \int e^{-ik \cdot x} u(x, t) dx \\ \text{(Transformée de Fourier en } x \text{)} \end{array} \right\} \Rightarrow \widehat{\partial_t u}(k) = \partial_t (\hat{u}(k, t))$

Rappel :  $\forall u, v \in L^2(\mathbb{R}^N), (u, v)_{L^2} := \int_{\mathbb{R}^N} u(x) \overline{v(x)} dx = \frac{1}{(2\pi)^N} (\hat{u}, \hat{v})_{L^2}$

donc  $\forall u \in L^2(\mathbb{R}^N),$   
 $\|u\|_{L^2} = \frac{1}{(2\pi)^{N/2}} \|\hat{u}\|_{L^2}$

Donc  $\forall u$  solution de  $\partial_t u + c \partial_x u = 0 \quad (1')$ ,

on a  $\widehat{\partial_t u} + c \widehat{\partial_x u} = 0 \Leftrightarrow \partial_t \hat{u} + ikc \hat{u} = 0 \quad (13)$

Donc  $\hat{u}(k, t) = \exp(-ikct) \hat{u}(k, 0)$

Déf 4: On appelle symbole de l'équation (1'):

$G(k, \Delta t) = \exp(-ikc \Delta t), \forall k \in \mathbb{R}, \forall \Delta t \geq 0: \quad (14)$   
 $\forall u$  solution de (1'),  $\hat{u}(k, t + \Delta t) = G(k, \Delta t) \hat{u}(k, t)$

- Exo: quel est le symbole de l'équation:  $\partial_t u + c \partial_x u = \partial_{xx} u$ ?
- montrer que le pb (1)(2) est bien posé dans  $H=L^2(\mathbb{R})$  si le symbole  $G(k, \Delta t)$  associé à (1) vérifie  $\forall T > 0, \sup \{ |G(k, \Delta t)|, k \in \mathbb{R}, \Delta t \geq 0 \} := C_T < +\infty$ .

25. Analyse de Fourier d'un schéma aux différences finies

- Ex: pour l'équation (1) et le schéma décentré (bon sens):  

$$u_j^{n+1} = (1 - c\tau) u_j^n + c\tau u_{j-1}^n, \quad \tau = \frac{\Delta t}{\Delta x} = c\tau \quad (15)$$

• Symbole du schéma:

- a) 1<sup>ère</sup> méthode: on suppose que  $u^0 = e^{ikx_j} = e^{ikj\Delta x} := u_0(x_j)$  ( $u_0$  est une "onde plane" si  $N > 1$ ). Alors, par récurrence  $\forall m, u_j^{m+1} = (1 - c\tau + c\tau e^{-ik\Delta x}) u_j^m := G_h(k, \Delta x) u_j^m$   
 $\Rightarrow \forall m, u_j^m = (G_h(k, \Delta x))^m \cdot e^{ikj\Delta x} := \underbrace{\tau_m}_{\text{symbole du schéma}} \cdot w_j$  (16)

- b) 2<sup>ème</sup> méthode: on cherche les solutions à variables séparées du schéma:  $u_j^m = \tau_m \cdot w_j$  (16), [ou de l'EDP  $u(x,t) = v(t)w(x)$  (17)]. On les cherche bornées sur  $\mathbb{R}$ .

$\tau_{m+1} w_j = u_j^{m+1} = ((1 - c\tau) w_j + c\tau w_{j-1}) \tau_m$ . Donc  
 $\frac{\tau_{m+1}}{\tau_m} = (1 - c\tau) + c\tau \frac{w_{j-1}}{w_j} = c\tau e^{-ik\Delta x} := 1 - c\tau + c\tau e^{-ik\Delta x} := G_h(k, \Delta x)$   
 car  $|\frac{w_{j-1}}{w_j}| = 1$ : on pose  $\frac{w_{j-1}}{w_j} := e^{-ik\Delta x}, k \in \mathbb{R}$ .

- c) 3<sup>ème</sup> méthode: on pose  $u_h^m(x) = \sum_{j \in \mathbb{Z}} u_j^m \chi_j(x)$ . (5)

Alors, d'après (15), en multipliant par  $\chi_j(x)$ , puis  $\sum_{j \in \mathbb{Z}}$ :  

$$u_h^{m+1}(x) = (1 - c\tau) u_h^m(x) + c\tau \sum_{j \in \mathbb{Z}} u_{j-1}^m \chi_j(x)$$

$$= (1 - c\tau) u_h^m(x) + c\tau u_h^m(x - \Delta x)$$

Donc  $u_h^{m+1} = (1 - c\tau) u_h^m + c\tau (\tau_{\Delta x} u_h^m)(x)$

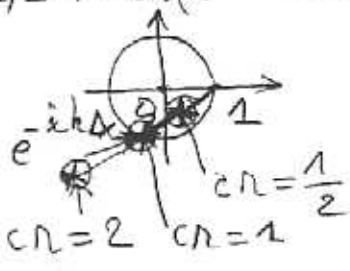
Donc  $\hat{u}_h^{m+1}(k) = (1 - c\tau) \hat{u}_h^m(k) + c\tau e^{-ik\Delta x} \hat{u}_h^m(k)$   

$$\hat{u}_h^{m+1}(k) = G_h(k, \Delta x) \hat{u}_h^m(k) \quad (17)$$



• Pour le schéma décentré,  $G_h(k, \Delta t) = 1 + c\tau(e^{-ik\Delta x} - 1)$  ←

Exemples:



$G_h(k, \Delta t)$ ,

pour  $c\tau = 2$   $c\tau = 1$

{ Alors  $|G_h(k, \Delta t)| \leq 1, \forall k, \forall \Delta t$   
 si  $0 \leq c\tau \leq 1$ : condition CFL, et schéma décentré "dans le bon sens".

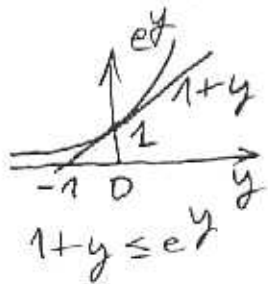
• Condition de stabilité de Von Neumann

Thm 3:

Le schéma (3) (5) (6) est stable dans  $L^2(\mathbb{R})$  si son symbole vérifie

$$\forall T > 0, \exists K = K_T > 0; \forall \Delta t, \sup_{k \in \mathbb{R}} |G_h(k, \Delta t)| \leq 1 + K\Delta t \quad (18)$$

Dém.  $\|u_h^m\|_{L^2} = \frac{1}{(2\pi)^{1/2}} \|\hat{u}_h^m\|_{L^2} = \frac{1}{(2\pi)^{1/2}} \|(G_h(k, \Delta t))^m \hat{u}_h^0\|_{L^2}$



$$\leq \frac{1}{(2\pi)^{1/2}} \cdot \left( \sup_{k \in \mathbb{R}} |G_h(k, \Delta t)| \right)^m \|\hat{u}_h^0\|_{L^2}$$

$$= \left( \sup_{k \in \mathbb{R}} |G_h(k, \Delta t)| \right)^m \|\hat{u}_h^0\|_{L^2}$$

$$\leq (1 + K\Delta t)^m \|\hat{u}_h^0\|_{L^2} \leq (e^{K\Delta t})^m \|\hat{u}_h^0\|_{L^2}$$

$$\leq e^{K_m \Delta t} \|\hat{u}_h^0\|_{L^2} \leq e^{K_T} \|\hat{u}_h^0\|_{L^2} \quad \square$$

• On admettra

Thm 4: Le schéma (6) est consistant, et d'ordre p en x, q en t, si

$$\forall k \in \mathbb{R}^N, \left| \frac{G(k, \Delta t) - G_h(k, \Delta t)}{\Delta t} \right| = O((\Delta x)^p + (\Delta t)^q) \quad (19)$$

symbole: de l'éq exacte, du schéma

## § 6. stabilité $L^\infty$ . Monotonie. Stabilité BV

Def. Le schéma (6) est dit monotone si

$$\left\{ \forall j, u_j^m \leq v_j^m \right\}, \text{ i.e. } \left\{ u^m \leq v^m \right\} \Rightarrow \left\{ S_h(u^m) := u^{m+1} \leq S_h(v^m) := v^{m+1} \right\} \quad (20)$$

• si le schéma est linéaire, ceci  $\Leftrightarrow$  à 7  
 $\{u^m \geq 0\} \Rightarrow \{S_{\Delta x} u^m \geq 0\}$ .

• Exemple: le schéma décentré dans le bon sens est monotone si  $0 \leq c \tau \leq 1$  (CFU).

Si un schéma est monotone et si  $\forall x, u_0(x) \in [m, M]$   
 alors  $\forall j, u_{j,0}^0 = u_{0,j} := \frac{1}{\Delta x} \int_{x_{j-1/2}}^{x_{j+1/2}} u_0(x) dx \in [m, M]$ , et par  
 monotonicité,  $\forall n \geq 0, \forall j, m \leq u_{j,n}^m \leq M$ : stabilité  $L^\infty$

Thm 4: (Crandall-Tartar). Soit  $S: L^1 \rightarrow L^1$ , qui présERVE  
l'intégrale:  $\forall u \in L^1, Su \in L^1$  et  $\int Su = \int u$   
 Alors  $S$  présERVE l'ordre si  $S$  est une contraction  
de  $L^1$  dans  $L^1$ :  $\forall u, v \in L^1, \int |Su - Sv| \leq \int |u - v|$

Dém. cf TD.  $\square$

• Application: supposons que  $u_0 \in L^1(\mathbb{R})$ , et que le schéma (6) soit monotone et conservatif. Alors (exo)

(i)  $u_{j,0}^0 = \frac{1}{\Delta x} \int_{x_{j-1/2}}^{x_{j+1/2}} u_0(x) dx \rightarrow 0$  ( $j \rightarrow +\infty$ ) ;  $\Delta x \sum_{j \in \mathbb{Z}} |u_{j,0}^0| < +\infty$

(ii)  $\forall n \geq 0, u_{j,n}^m \rightarrow 0$  ( $j \rightarrow +\infty$ ).

(iii)  $\forall n \geq 0, \Delta x \sum_{j \in \mathbb{Z}} u_{j,n}^m = \Delta x \sum_{j \in \mathbb{Z}} u_{j,0}^0 = \dots = \Delta x \sum_{j \in \mathbb{Z}} u_{j,0}^0 = \int_{\mathbb{R}} u_0(x) dx$

(iv)  $\forall n \geq 0, \Delta x \sum_{j \in \mathbb{Z}} |u_{j,n}^{m+1}| \leq \Delta x \sum_{j \in \mathbb{Z}} |u_{j,n}^m| \leq \dots \leq \int_{\mathbb{R}} |u_0(x)| dx$

(v)  $\forall n \geq 0, \Delta x \sum_{j \in \mathbb{Z}} |u_{j,n}^{m+1} - v_{j,n}^{m+1}| \leq \Delta x \sum_{j \in \mathbb{Z}} |u_{j,n}^m - v_{j,n}^m| \leq \dots \leq \Delta x \sum_{j \in \mathbb{Z}} |u_{j,0}^0 - v_{j,0}^0|$

(vi) En particulier, si  $v_{j,n}^m := u_{j-1,n}^m$ ,

$$\forall n \geq 0, \sum_{j \in \mathbb{Z}} |u_{j,n}^{m+1} - u_{j-1,n}^m| \leq \sum_{j \in \mathbb{Z}} |u_{j,n}^m - u_{j-1,n}^m|$$

La Variation totale de la solution discrète ne croît pas au cours du temps: un schéma monotone conservatif ne crée pas d'oscillations.